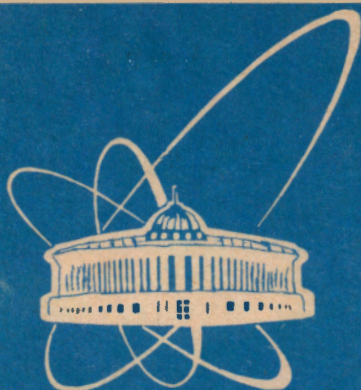


95-98



СООБЩЕНИЯ  
ОБЪЕДИНЕННОГО  
ИНСТИТУТА  
ЯДЕРНЫХ  
ИССЛЕДОВАНИЙ

Дубна

P2-95-98

И.М.Матора

НЕКОТОРЫЕ СВОЙСТВА ЭЛЕМЕНТАРНЫХ  
ПОЛУЛОКАЛЬНЫХ КВАНТОВАННЫХ  
ЧАСТИЦ-КОЛЕЦ

Направлено в журнал «Ядерная физика»

1995

## 1. ВВЕДЕНИЕ

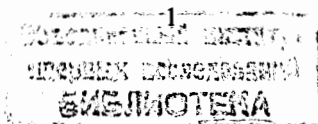
Универсальный факт существования больших магнитных моментов и в заряженных лептонах, и в имеющем нулевой электрический заряд адроне нейтроне, и в положительно заряженном протоне нельзя игнорировать в любой попытке понять истинную структуру этих и других частиц.

В природе есть единственный источник столь стабильного, как у вышеупомянутых и иных частиц, магнитного момента  $\vec{\mu}$ . Это — набор или (оптимально) один замкнутый (оптимально) кольцевой контур, по которому без диссипации энергии стационарно обращается самосогласованно распределенный на эквипотенциальной поверхности квант заряда  $\pm e$  при обязательно квантованном пронизывающем кольцо магнитном потоке  $\vec{\Phi}$  с наблюдаемым его значением  $\phi_z = M\phi_0$  ( $M = 1, 2, 3, \dots$ ; в гауссовой с.е.  $\phi_0 = \frac{\pi\hbar c}{e} = 2,06785 \cdot 10^{-7}$  Гс·см<sup>2</sup>).

Скорость заряда в покоящемся электроде впервые была найдена развившим релятивистскую теорию электрона Дираком еще в конце 20-х гг. [1]. Она постоянна и равна скорости света  $\pm c$ . Она, очевидно, и является скоростью обращения заряда в создающем магнитный момент  $\mu_{ze} = \mu_e / \sqrt{3} = 9,285 \cdot 10^{-21}$  эрг/Гс и поток  $\phi_{ze} = \phi_e / \sqrt{3} = \phi_0$  токовом контуре электрона.

Световая скорость обращения заряда в электроде-кольце не только минимизирует размеры частицы. Еще более важно то, что только при  $\beta_\phi = \frac{v}{c} = 1$  имеется возможность компенсации расталкивания заряда собственным электростатическим полем его стягиванием собственным полем магнитным. Тем самым самосогласованность формы электрона оказывается практически полной и без т.н. «напряжений Пуанкаре» (см. [2], стр. 311—12).

К сожалению, откровение Дирака  $x_i = c\alpha_i$  ([1] стр.343) до сих пор интерпретируется как т.н. Zitterbewegung [3] — беспорядочное «дрожание» всей частицы, а не как раз и навсегда возникшее самоподдерживающееся квантованное магнитное поле  $\phi_z = \phi_0$  обращение с  $v_\phi = -c$  равномерно распределенного по тороидальной (по сути — сверхпроводящей) поверхности электрона-кольца заряда  $-e$ . И даже в, по-видимому, впервые предложенной в 1954 г. [4] кольцевой самосогласованной модели электрона скорость заряда на поверхности частицы не приравнена световой. А в интенсивно разрабатывавшейся с 1969 по 1983 г. Jehle [5—10] модели электрона, мюона, кварков и других частиц, основанной на



квантовании магнитного потока в объектах его рассмотрения — многообразных замкнутых магнитопотоковых контурах — анализировалось не движение заряда, а потоковых контуров, скорость которых в некоторых их точках была световой.

Легко получить своеобразное универсальное «соотношение определенности» между хорошо измеренными вышеприведенным  $\mu_{ze}, \mu_{zn} = -9,66 \cdot 10^{-24}$  эрг/Гс,  $\mu_{zp} = 1,41 \cdot 10^{-23}$  эрг/Гс и магнитными моментами других частиц и их большими радиусами колец  $R$ , которое при радиусе меридианного сечения частиц-колец  $\rho_0 \ll R$  с учетом известного выражения  $\mu = \frac{\pi R^2 I}{c}$  из-за  $v_\varphi = c$  и  $\frac{I}{c} = \frac{e}{2\pi R}$  оказывается

$$R = \frac{2\mu}{e} \quad (a)$$

(разумеется, если в образующих частицу кольцах-партонах  $|q_i| \sim e$ , то оценка приемлема и для составных частиц).

Для протона, нейтрона и электрона с помощью (a) находим:

$$R_{p^+} \sim 10^{-13} \text{ см}, R_n \sim 10^{-13} \text{ см}, \text{ и } R_e = 6,7 \cdot 10^{-11} \text{ см}.$$

Для протона и нейтрона эти значения  $R$  удовлетворительно согласуются с их измеренными среднеквадратическими радиусами распределений источников взаимодействия (заряда, магнитного момента)  $\sqrt{\langle r_{p^+}^2 \rangle} \sim 10^{-13}$  см и  $\sqrt{\langle r_n^2 \rangle} \sim 10^{-13}$  см.

Что же касается электрона, то результаты длительных точных измерений с конца 50-х годов до середины 80 гг. [11,12] его  $\sqrt{\langle r_e^2 \rangle}$  приведены в таблице 1 (колонки 1,2,3,4).

В работах [13,14] показано, что данные колонки 4 табл.1 представляют размер электрона не в его системе покоя (СП), а в системе центра масс (СЦМ). Поэтому для получения истинного его размера (в СП) необходимо каждое из значений  $\sqrt{\langle r_e^2 \rangle}$  колонки 4 домножить на соответствующий релятивистский фактор  $\gamma$  (колонка 3) фоторожденного в паре  $e^+e^-$  или столкнувшегося со встречным  $e^-$ -партнером электрона.

Результат, представленный в колонке 5, убедительно свидетельствует: размер электрона в СП вовсе не точечный, он  $\sim 10^{-11}$  см, и ввиду экзотичности формы электрона-кольца не противоречит данной выше оценке  $R_e = 6,7 \cdot 10^{-11}$  см.

Модель структуры заряженных лептонов в виде полулокальных супертонких колец с квантованным пронизывающим кольцо магнитным потоком и

Таблица 1

Эксперимент. установка.	$E_{e^\pm}$ в СЦМ	$\gamma = \frac{E_{СЦМ}}{mc^2}$	$\sqrt{\langle r_e^2 \rangle}$ (см) измеренный	$\sqrt{\langle r_e^2 \rangle}_{сп} = \gamma \sqrt{\langle r_e^2 \rangle}$ измеренный
1	2	3	4	5
Фоторожд. $e^+e^-$	57,5 МэВ	113	$\leq 0,9 \cdot 10^{-13}$	$\leq 10^{-11}$ см
Столкновения встречных $e^-e^-$ : SPEAR-1	2,6 ГэВ	5100	$\leq 4 \cdot 10^{-15}$	$\leq 2 \cdot 10^{-11}$ см
PEP	15	29400	$\leq 2 \cdot 10^{-16}$	$\leq 0,6 \cdot 10^{-11}$ см
PETRA	18,5	36300	$\leq 2 \cdot 10^{-16}$	$\leq 0,7 \cdot 10^{-11}$ см

вследствие этого квантованным  $\ln \frac{R}{\rho_0} = 372,75$  ( $\rho_0$  — радиус меридианного сечения поверхности кольца) разработана в 1981—91 гг. [15—18].

Модельные спин, магнитный момент, полностью электромагнитная масса и магнитомеханическое отношение согласуются с их измеренными значениями.

Ниже анализируются свойства таких полулокальных элементарных частиц-колец лептонов (пронизываемых одним квантом  $\phi_0$ ), бозонов (двумя  $\phi_0$ ) и т.п. и их электромагнитное взаимодействие, которое в зависимости от расстояния между партнерами оказывается и традиционно электромагнитным, и по своим свойствам близким к сильному или слабому взаимодействиям.

## 2. СВОЙСТВА ЧАСТИЦ-КОЛЕЦ

Носитель магнитного момента (и соосного с ним спина) элементарная частица-кольцо заряжена квантом безмассового заряда  $\pm e$ , равномерно распределенного по поверхности тора с плотностью  $\sigma = \text{const}$  и обращаемого со световой скоростью  $v_\varphi = c$  вокруг оси симметрии кольца, прецессирующего относительно фиксируемой наблюдателем оси  $z$  под углом  $\arccos \frac{1}{\sqrt{3}}$  [19].

Собственный ее 4-потенциал  $(i\psi, \mathcal{A}_\varphi)$  в цилиндрической системе координат  $(r, \varphi, z)$  и гауссовой с.е. есть

$$\psi = \pm \frac{e}{\pi R} \sqrt{\frac{R}{r}} kK(k); \mathcal{A}_\varphi = \pm \frac{e}{\pi R} \sqrt{\frac{R}{r}} \frac{(2-k^2)K(k) - 2E(k)}{k}; k^2 = \frac{4Rr}{(R+r)^2 + z^2} \quad (1)$$

В области  $r, z \rightarrow \infty$   $k \rightarrow 0$ , и, например, при  $z \rightarrow \infty$

$$\psi(z) = \pm \frac{e}{z}; \mathcal{A}_\varphi(z) = \pm \frac{eR^2}{2} \frac{1}{z^3} \quad (1')$$

Вблизи же тороидальной поверхности  $\rho_0 \leq \rho \ll R$   $k \rightarrow 1$  и

$$\psi(\rho) = \pm \frac{e}{\pi R} \left( \ln \frac{R}{\rho} + \ln 8 \right); \quad \mathcal{A}_\varphi(\rho) = \pm \frac{e}{\pi R} \left( \ln \frac{R}{\rho} + \ln 8 - 2 \right). \quad (1'')$$

А на поверхности тора

$$\psi(\rho_0) = \pm \frac{e}{\pi R} \left( \ln \frac{R}{\rho_0} + \ln 8 \right) = \text{const}; \quad \mathcal{A}_\varphi = \pm \frac{e}{\pi R} \left( \ln \frac{R}{\rho_0} + \ln 8 - 2 \right) = \text{const},$$

причем из-за квантованности наблюдаемого магнитного потока  $\phi_z = \phi / \sqrt{3}$

$$\phi_z = \frac{2\pi R \mathcal{A}_\varphi(\rho_0)}{\sqrt{3}} = \frac{2e}{\sqrt{3}} \left( \ln \frac{R}{\rho_0} + \ln 8 - 2 \right) = \pm M \phi_0 = \pm M \frac{\pi \hbar c}{e} \quad (2)$$

оказывается квантованным также и

$$\ln \frac{R}{\rho_0} = M \cdot 372,8339 - 0,07944, \quad (3)$$

откуда

$$\psi(\rho_0) = \pm \left( M \frac{\sqrt{3} \phi_0}{2\pi R} + \frac{2e}{\pi R} \right); \quad \mathcal{A}_\varphi(\rho_0) = \pm M \frac{\sqrt{3} \phi_0}{2\pi R}. \quad (1''')$$

Полный магнитный момент частицы-кольца  $\mu$  равен

$$\mu = \sqrt{3} \mu_z = \pi R \frac{2I}{c} = \pm \frac{eR}{2}, \quad \left( \text{т.к. } I = \frac{ec}{2\pi R} \right). \quad (4)$$

Знак наблюдаемой его величины  $\mu_z$  зависит как от знака заряда  $\pm e$ , так и от знака  $v_\varphi = \pm c$ .

Напомним, что вытекающее из (4) выражение  $R = 2\sqrt{3} \frac{\mu_z}{e}$  вследствие максимального из возможных  $|v_\varphi| = c$  и оптимальности (кольцевой) формы токового контура определяет наименьшую возможную величину размера  $R$  частицы.

## 2.1. Масса и спин. Что такое спин частицы-кольца

Чтобы определить полностью электромагнитную массу  $m$  покоящейся частицы-кольца с ее стационарным собственным 4-х потенциалом  $(i\psi, \mathcal{A}_\varphi)$  необходимо вычислить [2,20]

$$mc^2 = \mathcal{P}_\varphi c + \frac{1}{2} \int \left[ \frac{j_\varphi(\rho_0)}{c} \mathcal{A}_\varphi(\rho_0) + \sigma \psi(\rho_0) \right] ds \quad (5)$$

(интегрирование по поверхности тора). Постоянные на ней  $j_\varphi$ ,  $\mathcal{A}_\varphi$ ,  $\sigma$  и  $\psi$  определены выше.

Адекватным определением импульса  $\mathcal{P}_\varphi$  безмассового заряда  $e$  в собственном поле  $(i\psi, \mathcal{A}_\varphi)$  является канонический (обобщенный) импульс

$$\mathcal{P}_\varphi = \frac{\partial \mathcal{L}}{\partial v_\varphi} = m_q \gamma v_\varphi + \frac{e}{c} \mathcal{A}_\varphi(\rho_0) = \frac{e}{c} \mathcal{A}_\varphi(\rho_0) \quad (6)$$

$(\mathcal{L} = m_q c^2 \sqrt{1 - \frac{v^2}{c^2}} + \frac{q}{c} (\vec{v} \cdot \vec{\mathcal{A}}) - q\psi$  — релятивистская функция Лагранжа, на содержащей заряд поверхности,  $m_q = 0$ ). По своему физическому смыслу  $\mathcal{P}_\varphi$  совпадает с введенным Дираком [1] релятивистским квантово-механическим оператором импульса  $\vec{\mathcal{P}} = i\hbar \frac{\partial}{\partial \vec{r}} + \frac{e}{c} \vec{\mathcal{A}}$ .

Интегрирование (5) дает

$$mc^2 = \sqrt{3} \frac{\hbar c}{R} \left( M + \frac{\alpha}{\pi\sqrt{3}} \right) \quad \left( \alpha = \frac{e^2}{\hbar c} \text{ — постоянная тонкой структуры} \right) \quad (5')$$

### 2.1.1. Теорема о целостности кванта заряда частицы-кольца.

Доказательство (от противного): Предположим, что заряд частицы имеет не квантованную, а произвольную величину  $\epsilon e$  ( $\epsilon \neq 1$ ), и сравним выражения (2) для магнитного потока сквозь кольцо

$$\phi = 2\pi R \mathcal{A}_\varphi(\rho_0) = M\sqrt{3} \phi_0 = M\sqrt{3} \frac{\pi \hbar c}{e},$$

в котором хорошо измеренный квант  $\phi_0 = \frac{\pi \hbar c}{e}$  имеет в знаменателе точный квант заряда  $e$ , с выражением механического момента (спина)  $S$  покоящейся частицы-кольца

$$S = R \mathcal{P}_\varphi = \frac{\epsilon e}{c} R \mathcal{A}_\varphi(\rho_0). \quad (7)$$

Подставив в  $S$  полученное из выражения для  $\phi$  значение  $R \mathcal{A}_\varphi(\rho_0) = M\sqrt{3} \frac{\pi \hbar c}{e}$ , находим

$$S = M\sqrt{3} \frac{e\hbar}{2}. \quad (7')$$

Отсюда следует очевидное заключение:

Для того, чтобы наблюдаемая величина спина  $S_z = S/\sqrt{3}$  элементарной частицы-кольца оказалась равной спину лептона  $\frac{\hbar}{2}$ ; бозона —  $\hbar$  и т.д., необходимо и достаточно отождествить  $\epsilon \equiv 1$ .

Тогда наблюдаемое значение спина  $S_z$  элементарной частицы-кольца

$$S_z = M \frac{\hbar}{2} \quad (7'')$$

предстанет поразительно инвариантной ее характеристикой, не зависящей ни от знака заряда  $\pm e$ , ни от величины ее массы  $m$ , ни от большого радиуса кольца  $R$ , определяющаяся только направлением обращения заряда (знаком  $v_\varphi = \pm c$ ) и квантовым числом  $M$ .

Насколько обоснованным в свете результата вышеописанного экскурса в область дробления кванта заряда  $e$  частицы-кольца является наделение партонов-кварков зарядами  $\pm \frac{2}{3}e$  и  $\pm \frac{e}{3}$  и одновременно с этим спинами  $\frac{\hbar}{2}$ , судить, разумеется, коллегам, развивающим теорию кварков.

### 2.1.2. Магнитомеханическое отношение.

Магнитомеханическое отношение  $g = \frac{\mu_z}{S_z}$  рассматриваемой элементарной частицы оказывается (см. (4), (5'), (7'')):

$$g = \pm \left( 1 + \frac{\alpha}{M\pi\sqrt{3}} \right) \frac{e}{mc}, \quad \left( \frac{\alpha}{\pi\sqrt{3}} = 0,00134108 \right). \quad (8)$$

Оно не только — как и должно быть — вдвое превосходит  $g_l = \frac{e}{2mc}$  моментов орбитальных, но обладает также и малой аномальной добавкой, правда, превосходящей на ~15% измеренную такую добавку заряженных лептонов.

Физическая причина столь близкого соответствия модельного магнитомеханического отношения колец-лептонов  $g = 1,00134108 \frac{e}{mc}$  экспериментальным электронному  $g_e = 1,00115965 \frac{e}{m_e c}$  и мюонному  $g_\mu = 1,00116594 \frac{e}{m_\mu c}$  состоит в том, что значение (6) импульса безмассового заряда  $e$  в собственном электромагнитном поле (см. (1''') и (5'))

$$P_\varphi = \frac{e}{c} \mathcal{A}_\varphi(\rho_0) = \frac{mc}{2 \left( 1 + \frac{\alpha}{M\pi\sqrt{3}} \right)} \quad (9)$$

содержит в знаменателе не только появившийся благодаря безмассовости заряда множитель 2, снижающий собственный механический момент количества электрона-кольца вдвое по сравнению с орбитальным моментом гипотетической точечной незаряженной частицы с той же массой  $m = m_0\gamma$ , как у покоящегося электрона, обращающейся по окружности радиуса  $R$  с  $v_\varphi \rightarrow c$ , но и, кроме того, множитель  $\left( 1 + \frac{\alpha}{\pi\sqrt{3}} \right) = 1,00134108$ . Имеющаяся в последнем малая добавка

$$\frac{\alpha}{\pi\sqrt{3}} \text{ равна, как легко видеть, отношению } \frac{|\psi(\rho_0)| - |\mathcal{A}_\varphi(\rho_0)|}{2|\mathcal{A}_\varphi(\rho_0)|}.$$

Попытка автора [18] привести ее величину в полное соответствие с вышеупомянутыми измеренными значениями добавок для электрона и мюона переводом ~2% световой скорости заряда в нормальную к  $v_\varphi$  и касательную к поверхности тора компоненту  $v_t$  при  $v_\varphi^2 + v_t^2 = c^2$  хотя и достигла цели, но она не корректна вследствие невозможности квантования возникающего при этом в торе (хотя и пренебрежимо малого) потока  $\Phi_\varphi \sim 10^{-173}$  Гс·см<sup>2</sup>.

Тем не менее, вышензложенное дает основания к справедливому замечанию Дирака [1], стр.192 «Спин электрона не имеет близкого соответствия с чем-либо в классической механике» добавить:

Свойства спина электрона практически совпадают со свойствами момента канонического импульса равномерно распределенного по тороидальной поверхности бесконечно тонкого кольца безмассового заряда  $-e$ , находящегося в стационарном состоянии обращения по ней с  $v_\varphi = c$  и квантованным наблюдаемым значением пронизывающего кольцо магнитного потока.

### 2.2. Самосогласованность формы

Как известно, самосогласованность формы равномерно распределенного по поверхности бесконечно длинного цилиндра и движущегося вдоль его оси со световой скоростью заряда идеальна. Однако такой цилиндр, согнутый в кольцо, даже при гигантском значении кванта  $\ln \frac{R}{\rho_0} = 372,75$  все же имеет, хотя и незначительную, неуравновешенность.

Количественная ее оценка, выполненная с помощью известных точных выражений напряженностей электрического и магнитного поля, вычисленных для координат поверхности частицы-кольца электрона ( $R_e = 6,7 \cdot 10^{-11}$  см), дает

величину примерно на 3 порядка меньшую, чем в известной классической модели электрона-сферы ( $r_0 = 2,82 \cdot 10^{-13}$  см) с неподвижным равномерно распределенным по сфере зарядом.

### 2.3. Модельные параметры конкретных элементарных частиц-колец.

Сопоставление выражений для рассмотренных выше характеристик частиц-колец показывает, что в каждой группе с фиксированным  $M$  спин  $S_z = M \frac{\hbar}{2}$  и магнитомеханическое отношение  $g = 1 + \frac{\alpha}{M\sqrt{3}\pi}$  постоянны.

Все же другие параметры — масса покоя  $m$ , магнитный момент  $\mu_z$ , большой радиус кольца  $R$  и канонический импульс  $\mathcal{P}_\phi$  конкретной частицы в соответствии с формулами (4), (5') и (9) пропорциональны или обратнопропорциональны друг другу. Это дает возможность в том случае, когда измерить удалось хотя бы один параметр частицы, значения остальных ее характеристик предсказать расчетом.

Так, например, для  $\tau$ -лептона, у которого измерена лишь его масса и время жизни ( $m_\tau = 3,181 \cdot 10^{-24}$  г,  $\tau_\tau = 3,3 \cdot 10^{-13}$  с), а магнитный момент не известен, пользуясь измеренной  $m_\tau$ , с помощью (4), (5') и (9) находим  $R_\tau = 1,94 \cdot 10^{-14}$  см,  $\mu_{z\tau} = 2,691 \cdot 10^{-24}$  эрг/Гс и импульс  $\mathcal{P}_{\phi\tau} = 4,76 \cdot 10^{-14}$  г·см/с.

Чтобы читатель мог проверить, насколько точно соответствуют предсказываемые модельные значения характеристик колец-лептонов их действительным (измеренным) величинам, приведем также модельные (вычисленные по измеренным массам покоя электрона  $m_e = 9,10953410 \cdot 10^{-28}$  г и мюона  $m_\mu = 1,883566 \cdot 10^{-25}$  г) другие параметры. Они таковы:

$$R_e = 6,6974 \cdot 10^{-11} \text{ см, } \mu_{ze} = 9,2865 \cdot 10^{-21} \text{ эрг/Гс, } \mathcal{P}_{\phi e} = 1,3636 \cdot 10^{-17} \text{ г·см/с.}$$

$$R_\mu = 3,2391 \cdot 10^{-13} \text{ см, } \mu_{z\mu} = 4,4913 \cdot 10^{-23} \text{ эрг/Гс, } \mathcal{P}_{\phi\mu} = 2,82 \cdot 10^{-15} \text{ г·см/с.}$$

## 3. ВЗАИМОДЕЙСТВИЕ ПАРЫ ЭЛЕМЕНТАРНЫХ ЧАСТИЦ-КОЛЕЦ; СЛОЖЕНИЕ ИХ МОМЕНТОВ

Квантование наблюдаемого суммарного спина  $S_z$  двух взаимодействующих элементарных частиц-колец совместимо лишь с двумя вариантами обуславливаемого их магнитным взаимодействием обязательно симметричного взаимного

расположения осей прецессии колец в пространстве: соосного и соплоскостного.

Вследствие того, что модуль скалярного потенциала частицы-кольца  $\psi$  всюду превосходит величину векторного потенциала  $\mathcal{A}_\phi$  (см. (1), (1'), (1'') и (1''')), электромагнитная энергия взаимодействия пары оказывается отрицательной (способной связывать пару в стационарных состояниях) в единственном случае — при противоположности знаков заряда партнеров. Магнитные же их моменты могут быть как параллельными (но при этом спины — антипараллельными), так и антипараллельными (при, разумеется, параллельных спинах).

В результате суммарные магнитные и механические моменты связанных пар автоматически оказываются следующими:

При магнитных моментах параллельных спин пары всегда равен разности спинов партнеров, т.е. он нулевой, если  $M_1 = M_2$ .

При  $\mu_i$  антипараллельных происходит сложение модулей  $S_{zi}$ .

Это противоречит известному утверждению о том (см., например, [19], стр.397), что «поскольку спин  $\pi$ -мезона равен нулю, то он не обладает собственным магнитным моментом». Утверждение это, как мы видели, справедливо для одной элементарной частицы-кольца, но не для состоящего, как известно, из двух партонов  $\pi^0$ -мезона.

Вышеизложенное дает основание предполагать, что, в частности,  $\pi^0$ -мезон обладает значительным магнитным моментом, который до сих пор не только не измерен, но и не обнаружен по единственной причине — чрезмерно малом его времени жизни  $\tau_{\pi^0} = 0,83 \cdot 10^{-16}$  с.

Важным условием, обеспечивающим наиболее прочную связь пары, является точное равенство больших радиусов  $R$  колец-партнеров — только при его выполнении потенциальная энергия взаимодействия элементарной частицы-кольца и ее античастицы при слиянии обоих колец в единый тор достигает величины их энергии покоя, и становится возможной аннигиляция.

Точный учет прецессии колец обеих частиц при вычислении операторов потенциальной энергии их магнитного и электростатического взаимодействия  $U_M$  и  $U_S$ , входящих в волновое уравнение, через решение которого находят волновые функции стационарных состояний пары, требует длительной работы. Вместе с тем разница между легко находимыми мажорирующими величинами энергии взаимодействия двух частиц-колец в радикально упрощающем расчеты предположении отсутствия прецессии и ее наличия невелика.

Поэтому ниже приводятся выражения и вычисленные с их помощью кривые значений энергии взаимодействия пары не прецессирующих частиц-колец, дающие близкое к истинному представление о свойствах взаимодействия.

### 3.1. Случай соосного взаимного расположения не прецессирующих колец

Здесь потенциальная энергия взаимодействия в цилиндрической системе координат с ее началом, расположенным на оси симметрии обеих частиц, в зависимости от расстояния  $r_{12}$  между параллельными медианными плоскостями торов с помощью четырехпотенциала (1) выражается так:

$$\left. \begin{aligned} U(r_{12}) &= U_m(r_{12}) + U_3(r_{12}), \text{ где ввиду } r = R \text{ при интегрировании} \\ U_m(r_{12}) &= \pm \frac{e^2}{\pi R} \frac{(2-k^2)K(k) - 2E(k)}{k}; \quad U_3(r_{12}) = \pm \frac{e^2}{\pi R} kK(k); \\ k^2 &= \frac{1}{1 + \frac{r_{12}^2}{4R^2}} \quad (r_{12} \gg \rho_0 \sim 10^{-161}R); \quad k^2 = 1 - \frac{\rho_0^2}{4R^2} \quad (r_{12} \rightarrow 0). \end{aligned} \right\} \quad (11)$$

Знак « $\pm$ » в энергии магнитного взаимодействия  $U_m$  имеет место при  $I_\phi$  одного знака в обоих кольцах, а в  $U_3$  — при противоположных знаках заряда партнеров.

В области расстояний между центрами колец  $r_{12} \rightarrow \infty \quad k \rightarrow 0$ , и

$$U_m(r_{12}) = \pm \frac{e^2 R^2}{2} \frac{1}{r_{12}^3}; \quad U_3(r_{12}) = \pm \frac{e^2}{r_{12}}; \quad U(r_{12}) = \pm \frac{e^2}{r_{12}} \left( 1 \pm \frac{R^2}{2r_{12}^3} \right). \quad (12)$$

а в случае  $\rho_0 \ll r_{12} \ll R \quad k \rightarrow 1$ , и здесь

$$\left. \begin{aligned} U_m(r_{12}) &= \pm \frac{e^2}{\pi R} \left( \ln \frac{R}{r_{12}} + 0,07944 \right); \quad U_3(r_{12}) = \pm \frac{e^2}{\pi R} \left( \ln \frac{R}{r_{12}} + 2,07944 \right); \\ U(r_{12}) &= \begin{cases} \pm \frac{2e^2}{\pi R} = \text{const!} \text{ при знаках } U_m \text{ и } U_3 \text{ противоположных,} \\ \pm \frac{2e^2}{\pi R} \left( \ln \frac{R}{r_{12}} + 1,07944 \right) \text{ — если знаки } U_m \text{ и } U_3 \text{ одинаковы.} \end{cases} \end{aligned} \right\} \quad (13)$$

Предельными при  $r_{12} \rightarrow 0$  являются  $U(0) = \pm \frac{2e^2}{\pi R}$  и  $\pm \frac{2e^2}{\pi R} \left( \ln \frac{R}{\rho_0} + 1,07944 \right)$  (13').

### 3.2. Случай расположения не прецессирующих колец соплоскостного

Здесь, обозначив расстояние между центрами колец через  $r_{12}$ , имеем:

$$\left. \begin{aligned} U(r_{12}) &= U_m(r_{12}) + U_3(r_{12}); \\ U_m &= \pm \frac{e^2}{\pi^2 R} \int_0^\pi \left( \frac{R}{r} \right)^{3/2} \left[ 1 + \frac{r_{12}}{R} \cos \varphi \right] \frac{(2-k^2)K(k) - 2E(k)}{k} d\varphi; \\ U_3 &= \pm \frac{e^2}{\pi^2 R} \int_0^\pi \frac{2K(k)}{1+r/R} d\varphi; \quad \frac{r}{R} = \left( 1 + 2 \frac{r_{12}}{R} \cos \varphi + \frac{r_{12}^2}{R^2} \right)^{1/2}; \\ k^2 &= \frac{4r/R}{(1+r/R)^2} \quad (\rho_0 \ll r_{12}); \quad k^2 = 1 - \frac{\rho_0^2}{4R^2} \quad (r_{12} = 0). \end{aligned} \right\} \quad (14)$$

Интегрирование по  $\varphi$  в (14) для  $r_{12} \rightarrow \infty$  и для  $\rho_0 \ll r_{12} \ll R$  и  $r_{12} \rightarrow 0$  легко выполняется, и результаты для указанных областей  $r_{12}$  совпадают с приведенными выше соответствующими выражениями (12), (13) и (13').

Как и следовало ожидать, расходимости  $U(r_{12})$  для всех значений  $r_{12}$  отсутствуют.

### 3.3. Ход энергии взаимодействия по $r_{12}$

Уже упоминалось, что связанные состояния пары возможны только тогда, когда заряды партнеров противоположны. Поэтому расчеты  $U(r_{12})$  с помощью выражений (11—14) были выполнены для этого их сочетания.

Конкретными партнерами пары были взяты электрон и позитрон с минимально возможным значением  $U(0) = -511$  кэВ.

Результаты расчетов иллюстрируются Рис. 1.

Сплошными кривыми изображен ход  $U\left(\frac{r_{12}}{R}\right)$ . Кружки демонстрируют ход  $U_3\left(\frac{r_{12}}{R}\right)$ , а косые крестики —  $U_m\left(\frac{r_{12}}{R}\right)$  в паре соплоскостных колец с параллельными  $\mu_{zi}$ . А зависимость  $U_3\left(\frac{r_{12}}{R}\right)$  и  $U_m\left(\frac{r_{12}}{R}\right)$  пары колец соосных с параллельными же  $\mu_{zi}$  представлена соответственно треугольниками и крестиками

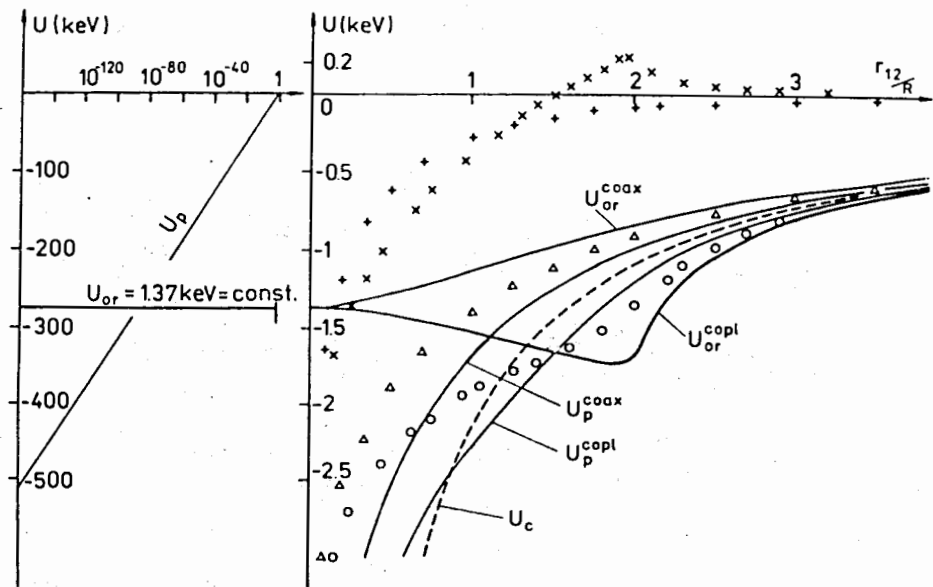


Рис. 1

прямыми. Ход  $U_m$  для случая антипараллельных  $\mu_{zi}$  в паре на рисунке отсутствует, т.к. он легко получается заменой знака изображенных (для параллельных

$\mu_{zi}$ )  $U_m\left(\frac{r_{12}}{R}\right)$  на обратный.

Ввиду того, что  $U\left(\frac{r_{12}}{R}\right)$  для  $\frac{r_{12}}{R} > 4$  с ростом  $r_{12}$  асимптотически стремится

к кулоновской энергии взаимодействия точечных  $e^+$  и  $e^-$   $U_c(r_{12}) = -\frac{e^2}{r_{12}}$ , на

рисунке даны кривые только до  $\frac{r_{12}}{R} < 4$ . А в связи с тем, что отличия  $U\left(\frac{r_{12}}{R}\right)$

частиц-колец от кулоновской энергии взаимодействия (последняя для сравнения на основном — правом — фрагменте изображена пунктиром) особенно сильны

на отрезке  $0 < \frac{r_{12}}{R} < 1$ , фрагмент хода по нему  $U\left(\frac{r_{12}}{R}\right)$  (левый) дан в логарифмическом масштабе оси абсцисс и 200-кратным увеличением цены деления оси ординат.

Привлекает внимание, прежде всего, возникновение в области  $0 < \frac{r_{12}}{R} < \sim 3$  многовариантности хода энергии взаимодействия пары полулокальных элементарных заряженных частиц-колец  $U\left(\frac{r_{12}}{R}\right)$ , а также радикальное отличие всех четырех его вариантов от кулоновского в этой области.

При этом оба варианта  $U\left(\frac{r_{12}}{R}\right)$  ортопозитрония существенно различны только на отрезке  $\sim 0,1 < \frac{r_{12}}{R} < \sim 3$ , а при  $\frac{r_{12}}{R} \in (0; 0,1)$  они сходятся к одной и той же постоянной величине  $U\left(\frac{r_{12}}{R}\right) = -1,37$  кэВ, т.е., в объеме атома ортопозитрония с  $r_{12} < 0,1R$  существует идеальная асимптотическая свобода для колец-партнеров.

Не лишены, правда, не идеальной, а логарифмической такой свободы и кольца-партнеры в паропозитронии, т.к. в нем для всех  $r_{12} < \sim 0,1R$  зависимость

$U\left(\frac{r_{12}}{R}\right)$  от  $r_{12}$  логарифмическая.

Особый интерес вызывает глубина логарифмической потенциальной ямы для каждого из колец-партнеров в паропозитронии; по модулю равная (см.рис.1) энергии покоя любого из них, тогда как аналогичная яма в ортопозитронии имеет глубину  $-1,37$  кэВ — более, чем, на два порядка меньшую. Здесь, вероятно, и содержится физическая причина превосходства времени жизни ортопозитрония ( $1,4 \cdot 10^{-7}$  с) над  $\tau^{\pm} = 1,25 \cdot 10^{-10}$  с паропозитрония в  $\sim 10^3$  раз.

Но наиболее удивительным свойством чисто электромагнитного взаимодействия пары полулокальных элементарных частиц-колец является метаморфо-

за константы взаимодействия при переходе из области больших  $\frac{r_{12}}{R}$ , где она

имеет значение  $e^2$  обычного кулоновского взаимодействия, в область  $\frac{r_{12}}{R} \ll 1$ , в

которой меняется и размерность константы  $\frac{2e^2}{\pi R}$  (см. соотношения (13) и (13'),

и на много порядков возрастает ее величина, т.к. даже для наиболее легких колец-лептонов  $e^-$  и  $e^+$   $R_{\pm} = 6,7 \cdot 10^{-11}$  см.

Очевидно, что все приведенные выше выражения энергии взаимодействия  $U(r_{12})$  пары колец-лептонов электрона и позитрона пригодны и для других за-



ряженных пар «лептон-антилептон» при подстановке в них вместо значения  $R_e$  соответствующих  $R_\mu$  или  $R_\tau$ , а деления шкалы энергии на рис.1 домножить на

$$\frac{R_e}{R_\mu} \text{ или } \frac{R_e}{R_\tau} \text{ соответственно.}$$

Ход энергий взаимодействия пары заряженных лептона и бозона (разумеется, с  $R_e = R_b$ ) и т.п. можно вычислить с помощью тех же соотношений (11) и (14) с должным учетом квантованных значений  $\ln \frac{R}{\rho_0}$  в четырехпотенциалах на поверхности колец пары.

Полученные параварианты  $U_p^{coax}$  и  $U_p^{copl}$  в области  $\frac{r_{12}}{R} \in (0, \sim 3)$  могут быть использованными для поиска дискретных состояний пары с  $\langle \frac{r_{12}}{R} \rangle \leq 3$  (типа  $\pi$ -мезонов и аналогичных мезонов с  $S_z = 0$ ), а также состояния «нейтрон» с  $S_z = \frac{\hbar}{2}$ , в котором пара включает в себя кольцо-лептон с зарядом  $e > 0$  и кольцо-бозон с зарядом  $-e$  через решение волновых уравнений с найденными операторами  $U_p^{coax}(r_{12})$  и  $U_p^{copl}(r_{12})$ . При этом партоны будут представлять собой элементарные частицы-кольца с целым квантом заряда  $\pm e$  (и спином  $M \frac{\hbar}{2}$ ) и адекватно выбранным (в паре — одним и тем же)  $R$ . Что касается правила кваркового счета, то в паре «нейтрон» оно также будет действенным, если число партонов в адроне заменить на  $\sum M_i = 1 + 2 = 3$ .

## ЗАКЛЮЧЕНИЕ

Итак, как только наряду со стабильно существующим квантованным зарядом элементарной частицы  $\pm e$  был учтен столь же стабильный обусловленный квантованным магнитным потоком ток этого заряда, реальность которого многократными точными измерениями магнитных моментов частиц давно доказана, и были найдены все компоненты собственного 4-х потенциала покоящейся частицы  $(i\psi, 0, \mathcal{A}_\varphi, 0)$ , так именно в той же области вблизи частицы, где хорошо исследованные экспериментально сильные, слабые и электромагнитные взаимодействия до сих пор принято считать имеющими различную природу и различные источники (носители), в которой найденные скалярный  $\psi$  и векторный  $\mathcal{A}_\varphi$  потенциалы имеют примерно равные модули, были найдены радикально

отличающиеся друг от друга несколько вариантов одного и того же чисто электромагнитного взаимодействия, обладающих свойствами как сильного (в парасостояниях), так и слабого взаимодействий.

Нельзя не оценить в этой связи всей глубины высказанной еще в первом десятилетии 20-го века мысли Гендрика Антона Лорентца: «...можно считать, что все силы связаны более или менее тесно с теми силами, которые мы изучаем в электромагнетизме» [21].

Значимость магнитного взаимодействия элементарных частиц проявляется, естественно, особенно ярко между электроном, обладающим уникально большим  $\mu_{ze}$  и имеющим нулевой суммарный заряд нейтроном с его  $\mu_{zn} = -9,66 \cdot 10^{-24}$  эрг/Гс (см. обзор теории и экспериментальных данных о взаимодействии в [22]).

Автор искренне благодарит ознакомившихся с работой перед ее публикацией В.Л.Аксенова, Ю.А.Александрова, Г.Н.Афанасьева, Ф.А.Гареева, В.И.Лушикова и А.Б.Пестова за ценные дискуссии и помощь, а также А.В. Белушкина и А.Б.Попова, сообщивших о разработке в конце 60-х гг. тороидальной модели частиц З.И.Огрзевальским, результаты которой ее автор опубликовать, к сожалению, не успел.

## Литература

1. Дирак П.А.М. — Принципы квантовой механики. М., «Наука», 1979, с.338.
2. Фейнман Р., Лейтон Р., Сэндс М. — Фейнмановские лекции по физике 6. Электродинамика. М., «Мир», 1977.
3. Foldy L.L., Wouthuysen S.A. — Phys. Rev., 1950, v.78, №1, p.29.
4. Buneman O. — Proc. Camb. Phil. Soc., 1954, v.50, p.77.
5. Jähle H. — Phys. Rev. D, 1971, v.3, №2, p.306.
6. Jähle H. — Phys. Rev. D, 1975, v.11, №8, p.2147.
7. Jähle H. — Phys. Rev. D, 1977, v.15, №12, p.3727.
8. Jähle H. — Acta Phys. Austriaca Suppl., 1978, v.18, p.63.
9. Jähle H. — Phys. Lett. B, 1981, v.104, №3, p.203, 207.
10. Jähle H. — Verh. Dtsch. Phys. Ges. ISSN 0420-0195, 1983, v.18(6), p.1205.
11. Wiik B. — 20-th Intern. Conf. on High Energy Phys., Madison, W (1980); N.-Y. Amer. Inst. of Phys., 1981, p.1379.
12. Исаев П.С. — Квантовая электродинамика в области высоких энергий. М.: Энергоатомиздат, 1984.
13. Матора И.М. — ОИЯИ, Р4-85-18, Дубна, 1985.
14. Матора И.М. — ОИЯИ, Р4-85-407, Дубна, 1985.
15. Матора И.М. — ОИЯИ, Р4-81-81, Дубна, 1981.
16. Матора И.М., Саввин В.А., Шелощев И.И., Ширникова Н.Ю. — ОИЯИ, Р3-81-591, Дубна, 1981.

17. Матора И.М. — ОИЯИ, Р4-81-774, Дубна, 1981.
18. Матора И.М. — ОИЯИ, Р4-91-447, Дубна, 1991.
19. Соколов А.А., Лоскутов Ю.М., Тернов И.М. — Квантовая механика. М., «Просвещение», 1965.
20. Джексон Д.Д. — Классическая электродинамика. М., «Мир», 1965.
21. Лоренц Г.А. — Теория электронов. М. ГИТТЛ, 1956, с.80.
22. Александров Ю.А. — Фундаментальные свойства нейтрона. М., «Энергоатомиздат», 1992.

Рукопись поступила в издательский отдел  
6 марта 1995 года.

Матора И.М.

P2-95-98

Некоторые свойства элементарных полулокальных квантованных частиц-колец

Рассмотрены свойства модельных заряженных элементарных полулокальных квантованных частиц-колец лептонов, бозонов и т.п., в которых наряду с квантом безмассового заряда  $\pm e$  имеется столь же стабильный пронизывающий кольцо квантованный магнитный поток  $\phi_z = M\phi_0$  ( $M = 1, 2, 3, \dots$ ), обуславливающий существование спина  $S_z = Mh/2$  и магнитного момента  $\mu = eR/2$  ( $R$  — большой радиус кольца) частиц с магнитомеханическим отношением  $g_l = \mu_z / S_z = 1,00134108$  e/mc для лептонов,  $g_b = 1,00067054$  e/mc бозонов и т.д. Найдена многовариантность хода энергии  $U(r_{12})$  чисто электромагнитного взаимодействия пары близких друг к другу частиц-колец в той области расстояний  $r_{12}$  между ними, где между эквивалентными по массе адронами имеется сильное взаимодействие. Один из вариантов по своим свойствам здесь близок к сильному взаимодействию, другой — к слабому. Доказана невозможность одновременного обладания рассмотренными частицами-кольцами дробным зарядом и спином  $S_z = h/2$ .

Работа выполнена в Лаборатории нейтронной физики им. И.М.Франка ОИЯИ.

Препринт Объединенного института ядерных исследований. Дубна, 1995

Перевод автора

Matora I.M.

P2-95-98

Some Properties of Elementary Semilocal Quantized Ring-Particles

The properties of model charged semilocal quantized elementary ring-particles of leptons, bosons etc. are considered, in which together with a quantum of a massless charge  $\pm e$  there exists so stable, as  $\pm e$ , a quantized magnetic flux  $\phi_z = M\phi_0$  ( $M = 1, 2, 3, \dots$ ), penetrating the ring, which causes the existence of spin  $S_z = Mh/2$  and magnetic moment  $\mu = eR/2$  ( $R$ -big ring radius) of particles with a magnetomechanical relation  $g_l = 1,00134108$  e/mc for leptons,  $g_b = 1,00067054$  e/mc for bosons and so on. A multivariance of a pure electromagnetic interaction energy dependence of a pair of ring-particles is found in that region of distances  $r_{12}$  between partners, where a strong interaction takes place among hadrons equivalent them on mass. One type by its properties is similar to a strong interaction, while the other — to a weak one. The impossibility of simultaneous possession the fractional charge and spin  $S_z = h/2$  for the considered ring-particles has been proved.

The investigation has been performed at the Frank Laboratory of Neutron Physics, JINR.

Preprint of the Joint Institute for Nuclear Research. Dubna, 1995